

図1 (781) Kartvelia 2024年3月10日 14h31m13s UT DAMIT Model 5755 ($\lambda = 339$ 、 $\beta = -8$) $\times 1$
 $P = 259^\circ$ 、 $\beta_e = +26^\circ$ 、 $\lambda_e = +168^\circ$ 、Scale Factor 1: 60.2、 $k = 0.982$ 、 $B = 270.2^\circ$

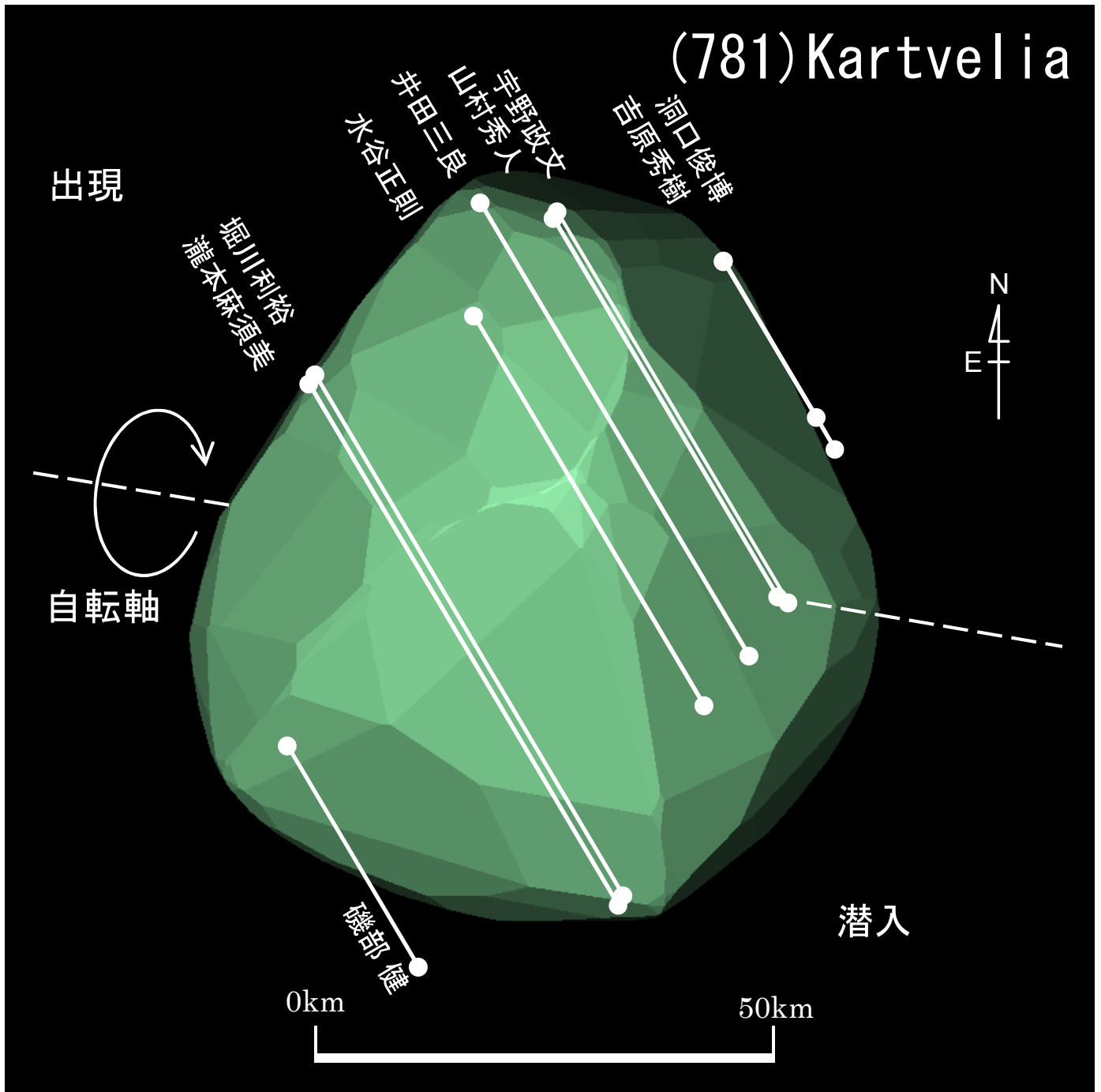


図2 (781) Kartvelia 2024年3月10日 14h31m13s UT DAMIT Model 5756 ($\lambda = 159$ 、 $\beta = +5$)※1
 $P = 82^\circ$ 、 $\beta_e = -27^\circ$ 、 $\lambda_e = -10^\circ$ 、Scale Factor 1: 59.7、 $k = 0.982$ 、 $B = 270.2^\circ$

(781)Kartvelia

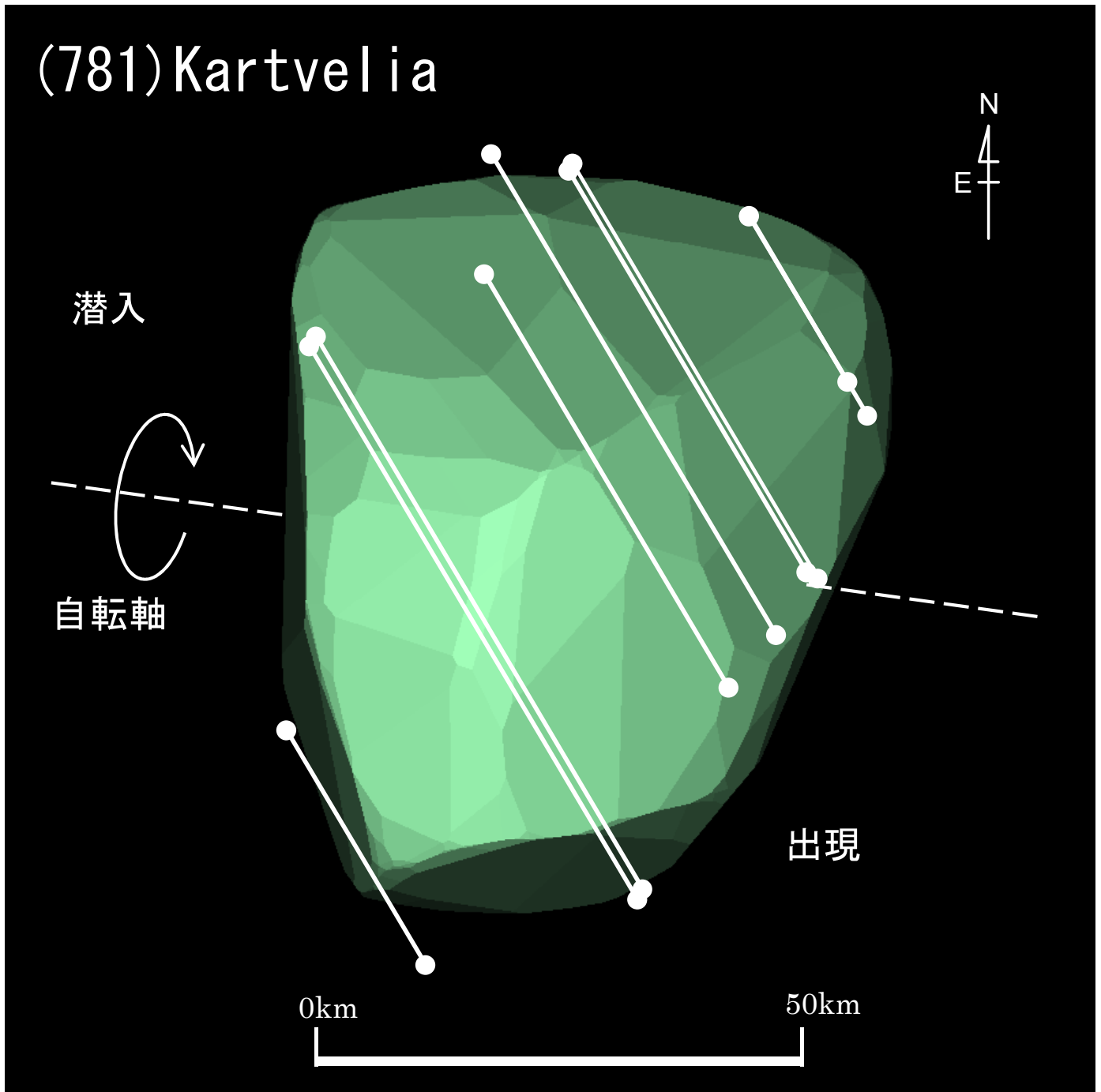


図3 (781) Kartvelia 2024年3月10日 14h31m13s UT DAMIT Model 5756 ($\lambda = 159$ 、 $\beta = +5$)※1
 $P = 82^\circ$ 、 $\beta_e = -27^\circ$ 、 $\lambda_e = -261^\circ$ 、Scale Factor 1: 57.1、 $k = 0.982$ 、 $B = 270.2^\circ$

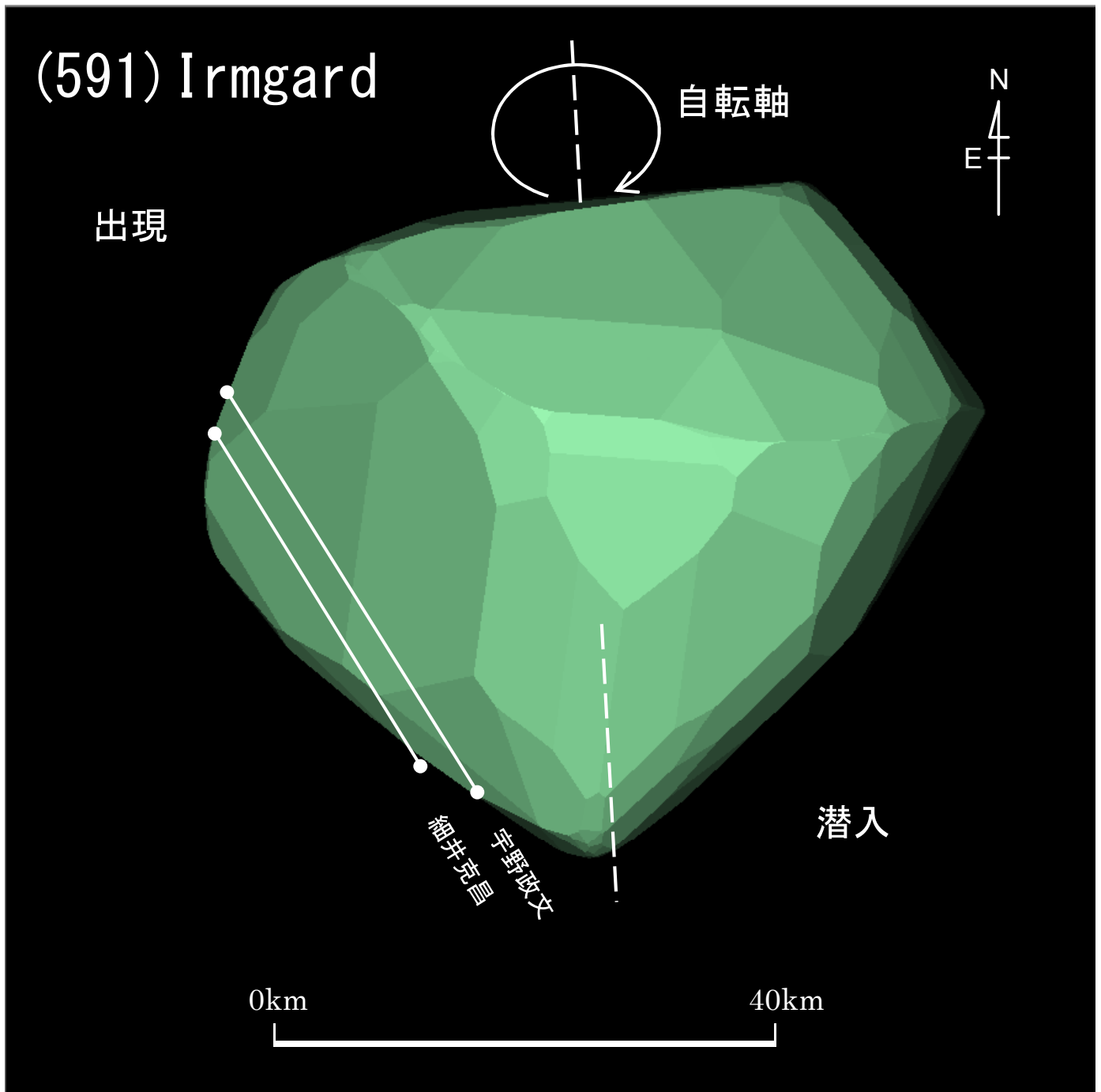


図4 (591) Irmgard 2024年2月9日 14h38m54s UT DAMIT Model 5596 ($\lambda = 94$ 、 $\beta = +48$)※1
 $P = 3^\circ$ 、 $\beta_e = -55^\circ$ 、 $\lambda_e = +54^\circ$ 、Scale Factor 1: 40.8、 $k = 0.977$ 、 $B = 282.6^\circ$

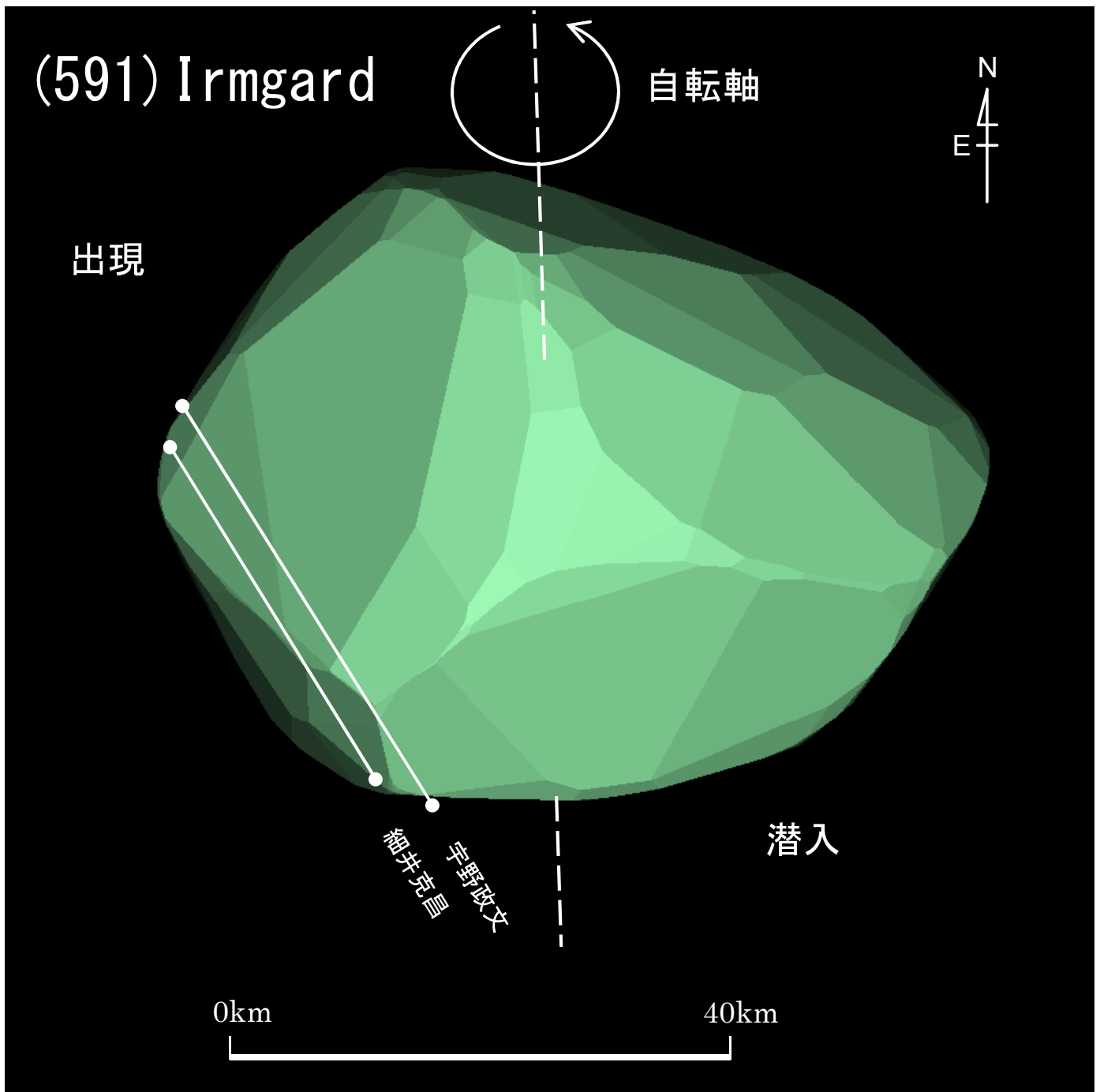


図5 (591) Irmgard 2024年2月9日 14h38m54s UT DAMIT Model 5597 ($\lambda = 272$ 、 $\beta = +17$)※1
 $P = 2^\circ$ 、 $\beta_e = +60^\circ$ 、 $\lambda_e = -130^\circ$ 、Scale Factor 1: 41.0、 $k = 0.977$ 、 $B = 282.6^\circ$

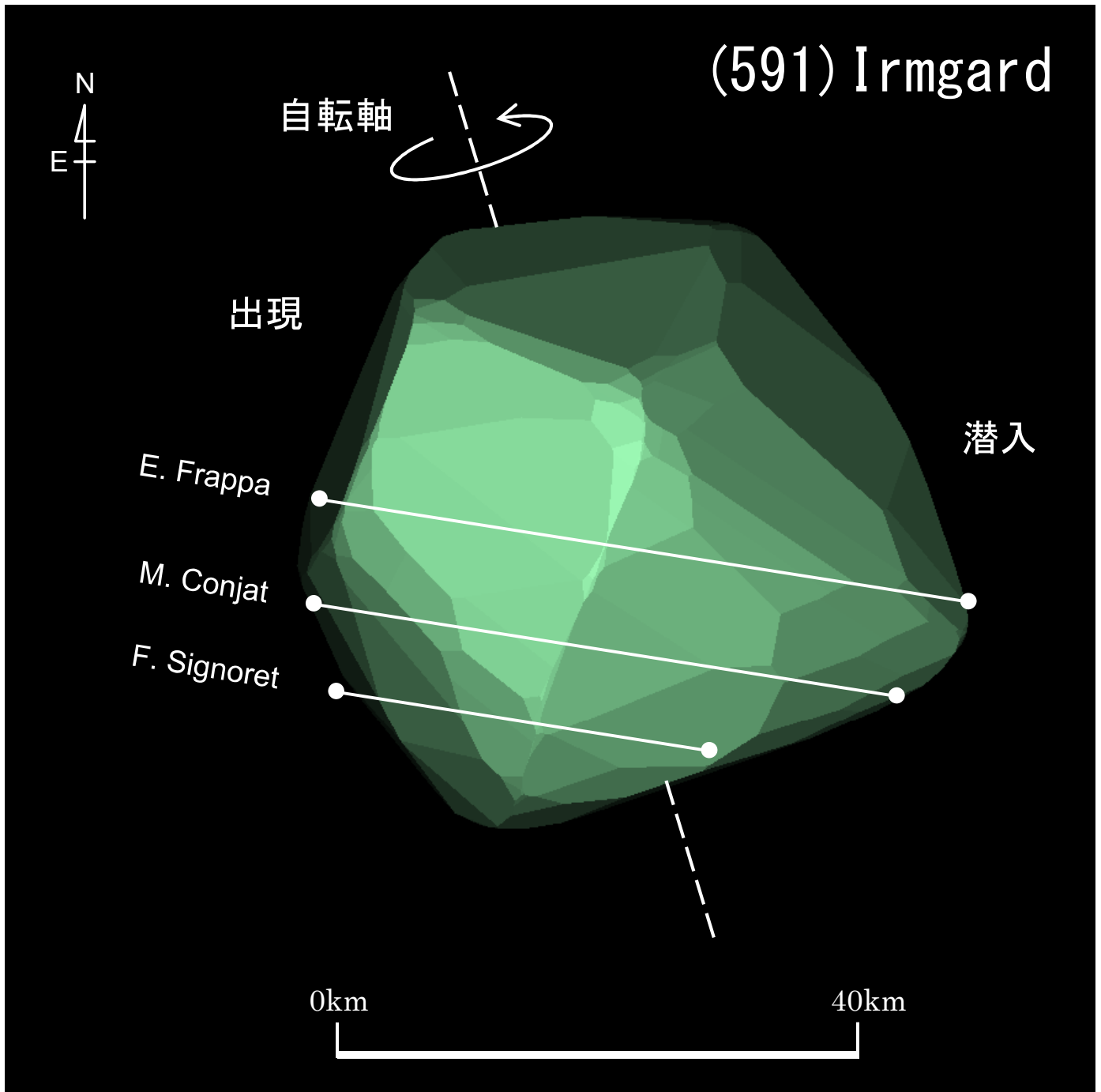


図6 (591) Irmgard 2017年9月3日 00h15m30s UT DAMIT Model 5596 ($\lambda = 272$ 、 $\beta = +17$)※1
 $P = 17^\circ$ 、 $\beta_e = +16^\circ$ 、 $\lambda_e = -38^\circ$ 、Scale Factor 1: 39.4、 $k = 1.000$ 、 $B = 283.4^\circ$

(117) Lomia

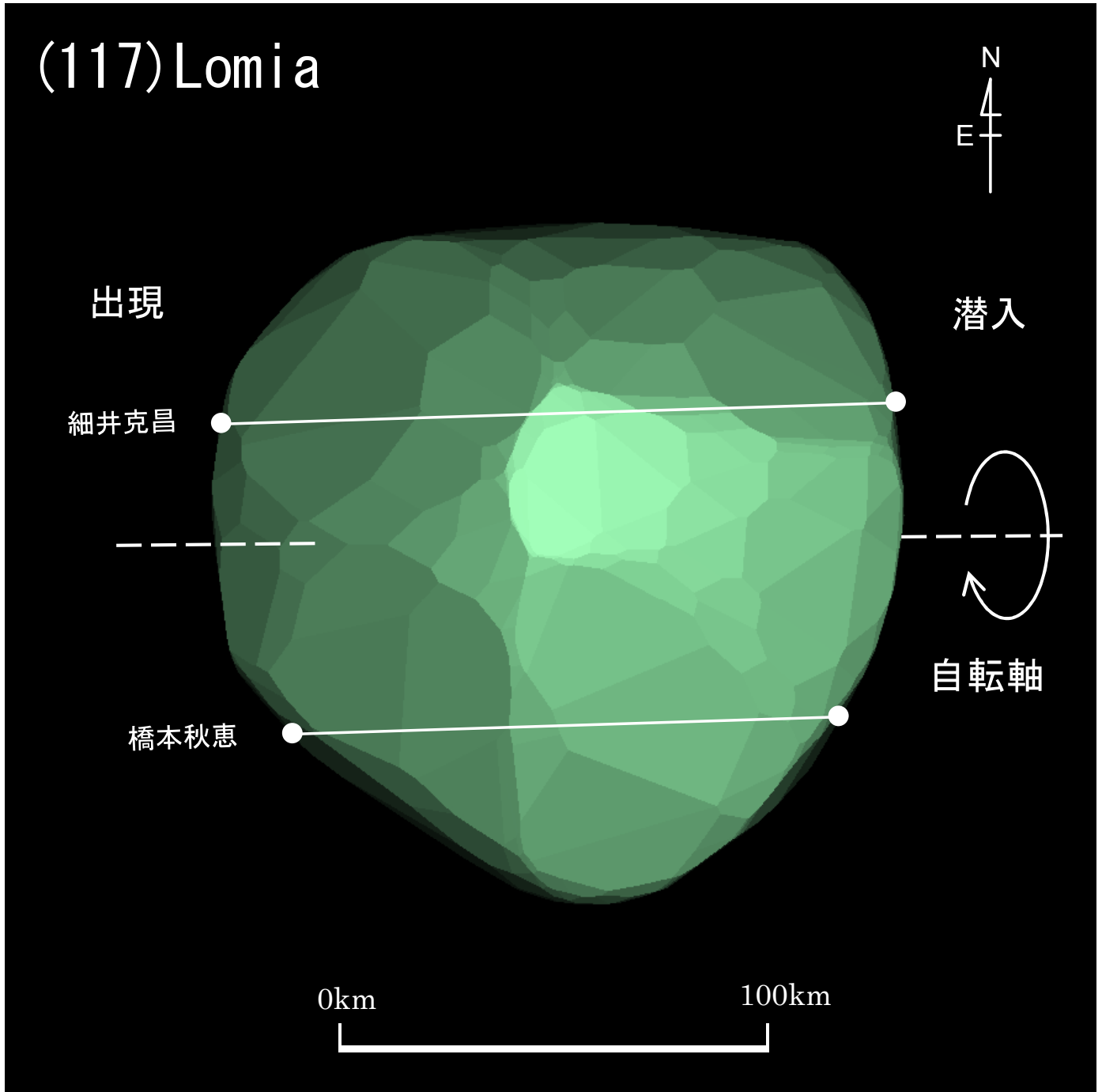


図7 (117) Lomia 2024年2月17日 16h12m43s UT DAMIT Model 838 ($\lambda = 117$, $\beta = -19$)※1
 $P = 271^\circ$, $\beta_e = -30^\circ$, $\lambda_e = -118^\circ$, Scale Factor 1: 129.4, $k = 0.995$, $B = 111.5^\circ$

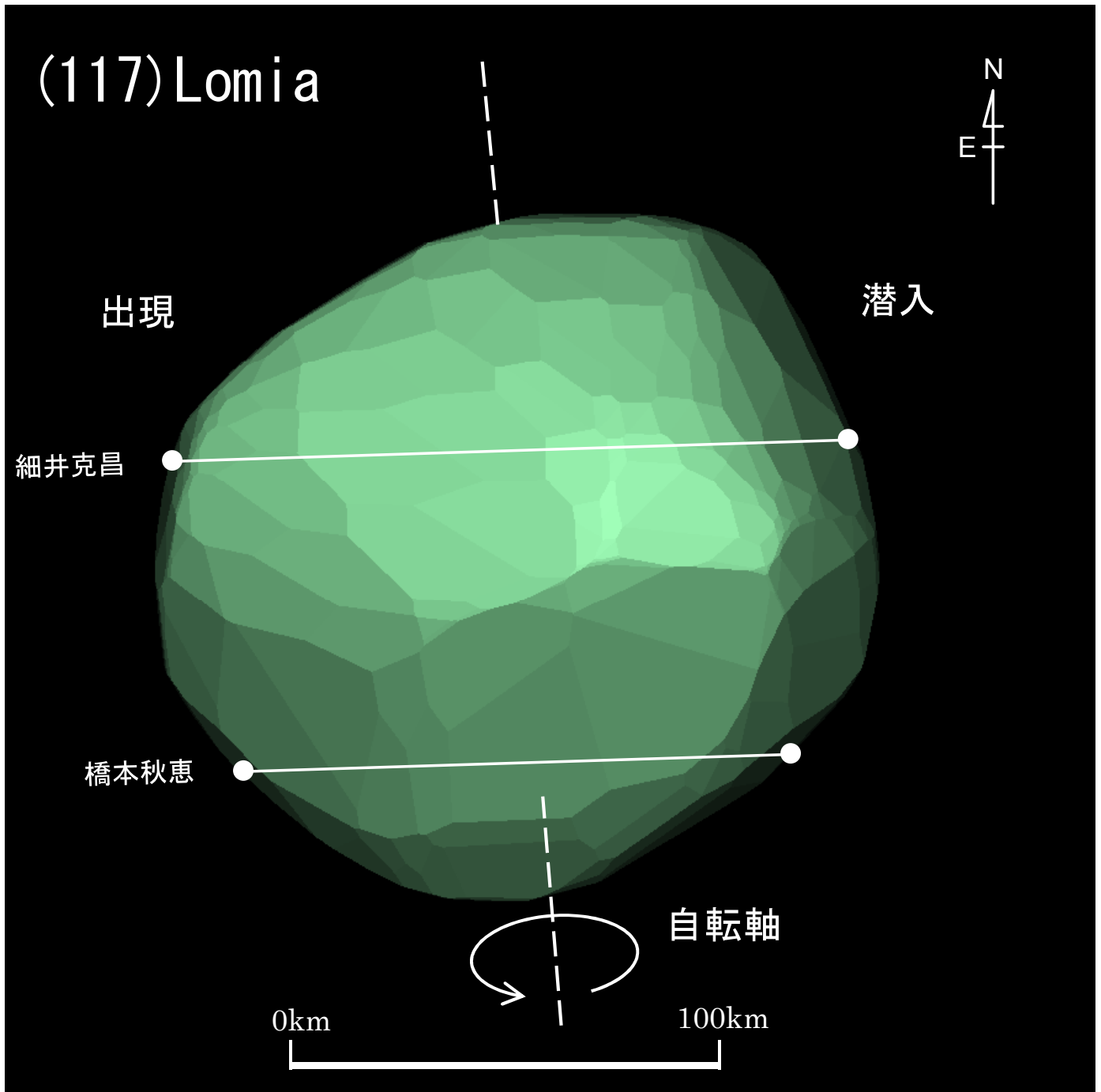


図8 (117) Lomia 2024年2月17日 16h12m43s UT DAMIT Model 839 ($\lambda = 323$ 、 $\beta = -57$)※1
 $P = 184^\circ$ 、 $\beta_e = +28^\circ$ 、 $\lambda_e = +7^\circ$ 、Scale Factor 1: 130.1、 $k = 0.995$ 、 $B = 111.5^\circ$

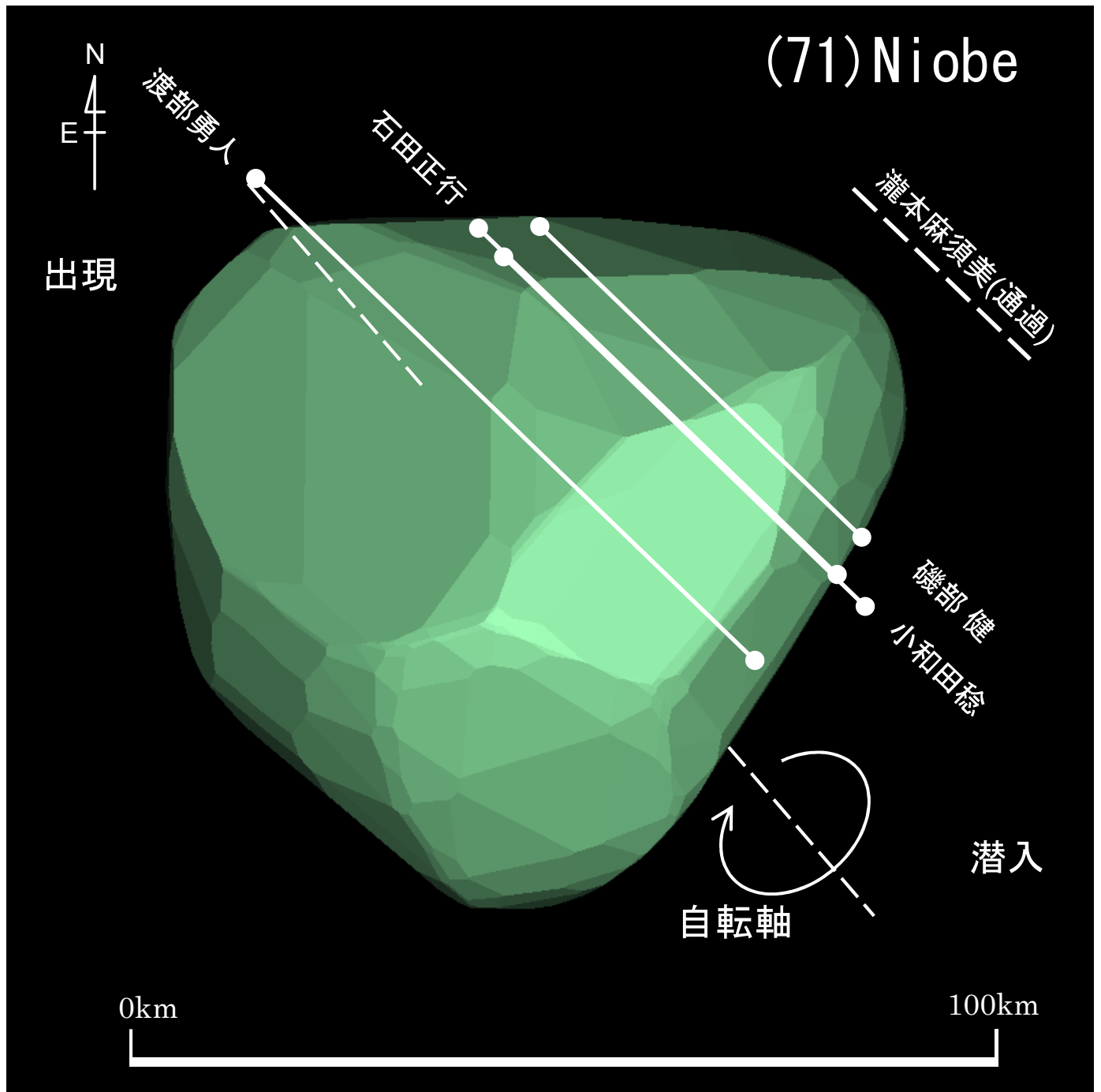


図9 (71) Niobe 2024年2月28日 15h47m44s UT DAMIT Model 1014 ($\lambda = 88$ 、 $\beta = -33$)※1
 $P = 221^\circ$ 、 $\beta_e = -45^\circ$ 、 $\lambda_e = -193^\circ$ 、Scale Factor 1: 61.3、 $k = 0.982$ 、 $B = 284.5^\circ$

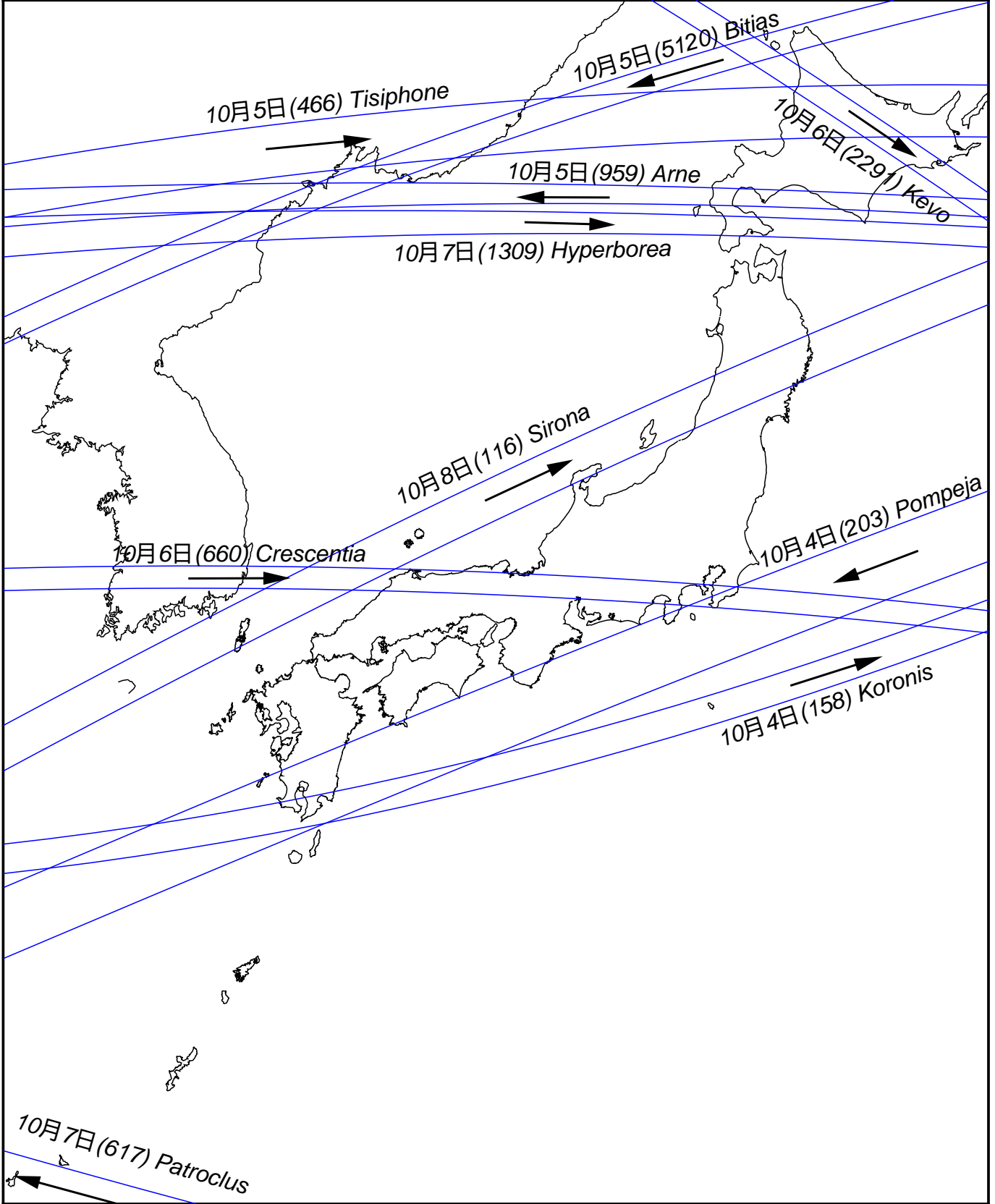


図10 日本付近を通る小惑星による主な掩蔽帯経路（初期予報）2024年10月前半
 矢印は影の移動方向を示す

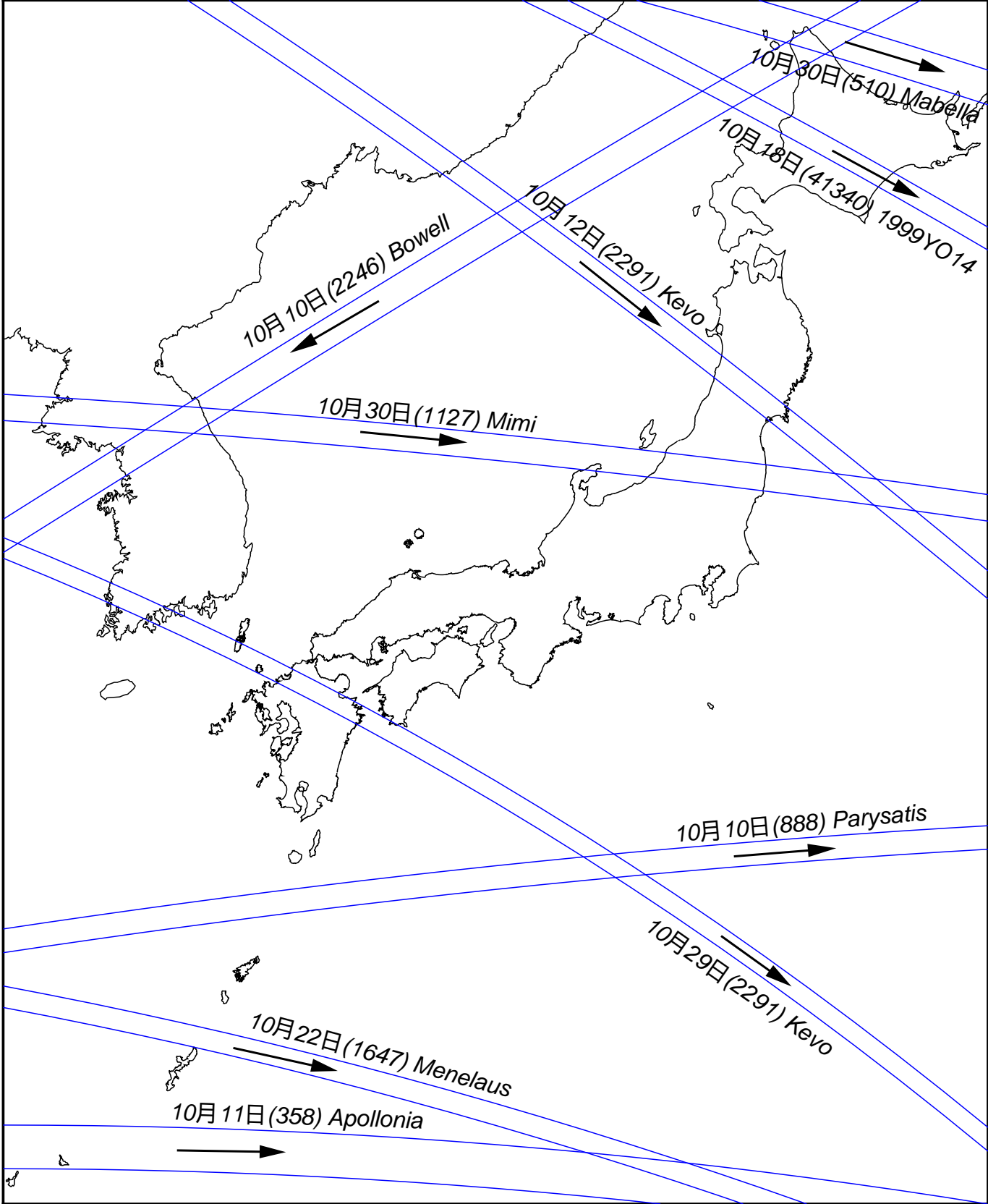


図11 日本付近を通る小惑星による主な掩蔽帯経路（初期予報）2024年10月後半
 矢印は影の移動方向を示す